

## 원자력 발전소에서의 코발트이온의 제거를 위한 양이온 교환섬유의 전기탈이온 시스템에서의 적용 연구

송정훈, 이진우, 심봉섭, 박지숙, 문승현\*

광주과학기술원 환경공학과

A Study on the Application of Cation Exchange Textile (CIET) in a Continuous Electrodeionization (CEDI) System for the Removal of Cobalt Ion in a Nuclear Power Plant

Jung-Hoon Song, Jin-Woo Lee, Bong-Sup Shim, Ji-Suk Park,  
Seung-Hyeon Moon\*

Department of Environmental Science and Engineering,  
Gwangju Institute of Science and Technology (GIST)

### 1. 서론

전기투석의 회석실에 이온전도성 매개체를 충진한 전기탈이온 장치는 이온의 제거율이 높고 이온교환매개체가 연속적으로 재생되어 기존의 이온교환수지공정의 대체공정으로 각광받고 있다. 그러나, 현재 상업화된 전기탈이온 장치의 가장 큰 문제점중의 하나는 높은 전류밀도하에서의 중금속 침전현상과 종력에의한 이온교환수지의 쓸림현상으로 인한 관로흐름의 발생 및 그로인한 전류효율의 감소이다. 이러한 문제를 극복하기 위해서 다층식 충진방식을 통한 중금속 침전 억제방법과 이온교환섬유의 적용연구가 수행 중에 있다. 따라서, 본 연구에서는 기존의 전기탈이온시스템의 단점을 위해서 개발된 UV-그라프트 이온교환섬유를 전기탈이온 시스템에 적용후 기존의 전기탈이온 시스템과의 비교실험을 통해서 시스템에서의 적용가능성을 판단하고 코발트의 이동메커니즘을 정성적으로 제시하고자 한다.

### 2. 실험

전기탈이온 장치의 적용영역을 이해하기 위해서 전기전도도가 측정되었다. 이를 위해서 UV-그라프트방법을 통해 얻어진 이온교환섬유를 Flow cell에 충진한후 다양한 전도도의  $\text{Co}(\text{NO}_3)_2$  용액을 통과시켜 그때의 이온교환매개체의 전도도를 측정되었다. UV-그라프트 이온교환섬유를 충진한 전기탈이온 시스템에서의 성능 변화를 조사하기 위해 공정변수인 온도, 유속, pH에 따른 연구가 수행되었다.

유효막면적  $50 \text{ cm}^2$ 인 1 cell pair 3 compartment 셀을 이용하여 전류-전

\*corresponding author

압곡선을 측정하였다. 전기탈이온 시스템의 공정운전은 이온교환수지와 이온교환섬유를 충진한후 10 ppm의 코발트 이온의 제거를 위해 전류-전압곡선으로부터 얻어진 최적 전류밀도 하에서 이온교환수지와 이온교환섬유를 충진후 수행하였다.

### 3. 결과 및 토론

#### 3.1 전기탈이온 시스템의 특성분석

##### 3.1.1 전기전도도

전기전도도 측정결과가 그림 1에 나타나있다.  $3700 \mu\text{s}/\text{cm}$ 에서 전기탈이온 시스템의 적용가능함이 판단되었으며, 전기탈이온 시스템의 최적효율을 나타내는 영역은  $120 \mu\text{s}/\text{cm}$  미만에서 나타남으로서 10 ppm 코발트 이온의 처리에 적합한 것으로 판단되었다.

##### 3.1.2 온도의 영향

전기탈이온 시스템에서의 온도의 변화에 따른 코발트 제거율이 측정되었다. 그림 2는 시간에 따른 코발트 이온의 제거율을 나타내고 있다. 시간의 증가에 따라서 유사한 제거율을 보임을 알 수 있다. 이는 일정전류모드로 전기탈이온 시스템을 운전했기 때문에 일어나는 현상으로 판단된다. 그러나, 온도가 높을 경우 빨리 steady-state 상태에 도달함을 알 수 있다.

##### 3.1.3 유속의 영향

유속의 변화에 따른 전기탈이온 시스템에서의 제거율 변화가 그림 3에 나타나있다. 시간에 따른 제거율은 유속이 낮을수록 증가하였으며, 유속이 매우 빠를 경우에는 오히려 지속적으로 감소함을 알 수 있다. 이는 이온교환섬유에서의 선호도 때문에 일어나는 현상으로 판단된다. 일반적으로 이온교환수지공정에서의 exchange zone front는 높은 유속에서 분산되게 되어 이온의 break through로 인해 제거율이 낮아진다 [1].

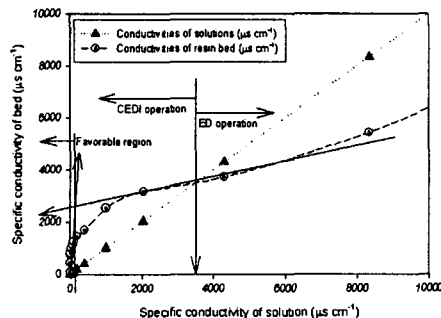


그림 1. 양이온 교환섬유의 전기전도도

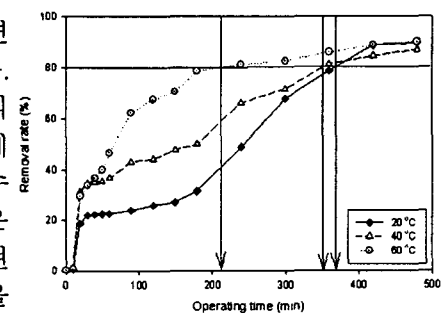
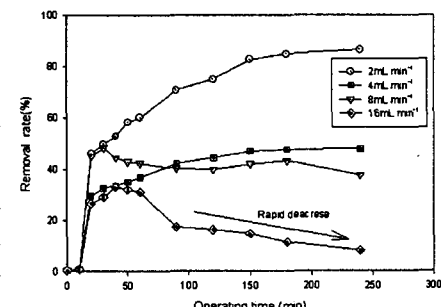


그림 2. 온도의 변화에 따른 제거율의 변화



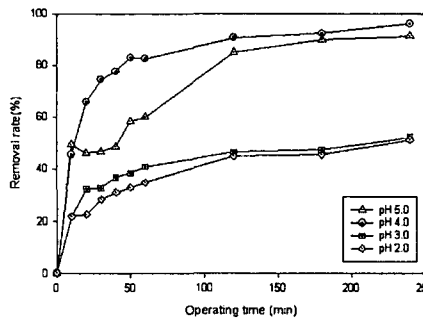


그림 4. 유입수의 pH에 따른 제거율의 변화 현상이 일어나게 된다 [2].

### 3.2 코발트 이온의 제거를 위한 양이온 교환섬유의 적용

#### 3.2.1. 전류-전압 곡선

전기탈이온 시스템에서의 양이온교환섬유의 전류-전압곡선이 그림 5에 나타나있다.  $7 \text{ A/m}^2$  이상에서 물분해가 일어나는 시점으로 판단되었으며, 향후 실험은  $7 \text{ A/m}^2$ 에서 수행되었다.

#### 3.2.2. 유출수의 pH변화

양이온 교환섬유를 충진한 전기탈이온 시스템과 양이온 교환수지 (IRN 77, Rhom and Hass co.)를 충진한 전 그림 5. 전기탈이온 시스템의 전류-전압곡선 기탈이온 시스템의 회설실 pH변화를 그림 6에서 보여주고 있다. 이온교환섬유를 충진한 전기탈이온 시스템에서의 유출수 pH가 더 낮음으로서 물분해 현상이 더 많이 일어남을 알 수 있다.

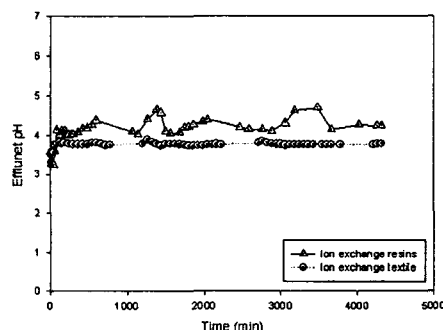


그림 6. 시간에 따른 유출수 pH 변화

#### 3.1.4 pH의 영향

유입수의 pH에 대한 영향이 그림 4에 나타나있다. 유입수의 pH가 낮을수록 제거율이 급격히 낮아짐을 알 수 있다. 이는 이온교환섬유에서의 코발트 이온에 대한 선택도가 낮은 pH에서 낮아지기 때문에 일어나는 현상으로 파악된다. 즉, 이온교환섬유로의 sorption 현상이 낮아짐으로 인해서 제거율의 감소

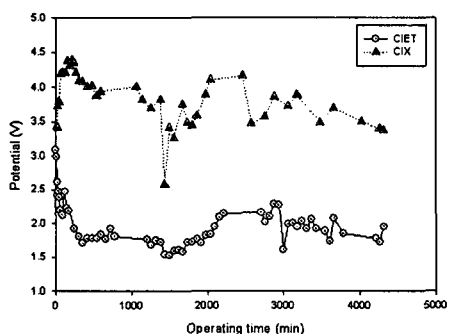
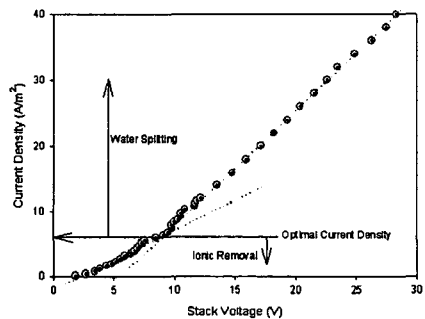


그림 7. 전기탈이온 시스템에서의 전압변화

#### 3.2.3. 전압강하

그림 7은 전기탈이온 시스템에서의 전압강하를 보여주고 있다. 이온교환

섬유를 충진한 전기탈이온 시스템에서의 전압강하가 더 낮은 것으로 나타나 소비 전력이 더 효율적인 것으로 판단되었다.

#### 3.2.4. 제거율

그림 8은 전기탈이온 시스템에서의 제거율을 나타내고 있다. 이온교환섬유를 충진한 전기탈이온 장치의 경우 제거효율이 98% 이상을 유지함으로서 전기탈이온 장치용 이온교환매개체로서 적합한 것으로 판단되었다.

#### 3.2.5. 제거 메커니즘

그림 9는 전기탈이온 공정운전후의 이온교환섬유의 사진 (a)와 제시된 그로 인해서 제시된 제거메커니즘을 나타내고 있다. 실험적인 증명을 통해 아랫부분에는 이온의 제거가 주된 메커니즘이며, 윗부분에 물분해 현상이 일어남을 알 수 있고, convective flow에 의한 수직으로의 이동과 electro migration에 의한 수평으로의 이동의 절충에 의해서 코발트이온의 이동현상이 주로 결정됨을 알 수 있다.

### 4. 결론

UV그라프트법을 통해 제조된 이온교환섬유가 전기탈이온 시스템용 이온교환스페이서로서 적합한 것으로 나타났으며, 본 연구를 통하여 이온의 이동메커니즘이 제시되었다.

### 5. 사사

본 연구는 한국과학기술기획평가원(KISTEP)에서 주관하는 원자력 기초공동연구소(BAERI)의 연구비 지원에 의해 수행되었으며 이에 감사드립니다.

### 6. 참고 문헌

- [1] F. Helfferich, *Ion exchange*, McGraw-Hill, London (1961)
- [2] P.B. spoor, L. Grabovska, L. Koene, L.J.J. Janssen, W.R. ter Veen, Chemical Engineering Journal, 89(2002), 193-202

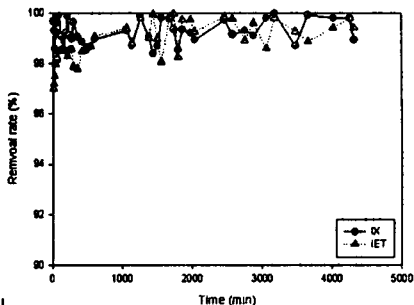


그림 8. 시간에 따른 제거율의 변화

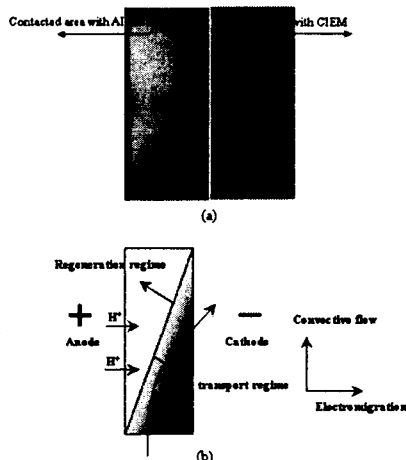


그림 9. 공정운전후 이온교환섬유의 Digital picture (a)와 제시된 제거 메커니즘 (b)